

Идентификация объектов оптического диапазона в областях жесткого излучения вблизи красных карликовых звёзд

А.А. Шляпников

Федеральное государственное бюджетное учреждение науки «Крымская астрофизическая
обсерватория РАН»

Аннотация

Проведен анализ областей локализации источников ТэВ гамма-излучения в рентгеновском и оптическом диапазонах спектра. Указаны расстояния от положения максимумов в распределении высокоэнергетических потоков, до вероятных кандидатов на идентификацию с красными карликами. Также рассмотрены возможные отождествления более слабых ТэВ источников и других объектов поля.

Ключевые слова: рентгеновские и гамма-источники, звезды - переменные и пекулярные.

aas@craocrimea.ru

Identification of objects in the optical range in areas of hard radiation near red dwarf stars

A.A. Shlyapnikov

Federal State Budgetary Scientific Institution "Crimean Astrophysical Observatory of the RAS"

Annotation

The analysis of the localization regions of TeV gamma-radiation sources in the X-ray and optical spectral ranges is carried out. The distances from the position of the maxima in the distribution of high-energy fluxes to the probable candidates for identification with red dwarfs are indicated. Possible identifications of weaker TeV sources and other field objects are also considered.

Key words: X-ray and gamma-ray sources, stars - variable and peculiar.

aas@craocrimea.ru

Введение

Проблема идентификации первых «дискретных» источников жесткого диапазона спектра ($10^{-8} - 10^{-11}$ эрг ≈ 0.6 МэВ – 0.6 кэВ) в оптике была исторически связана с невысокой точностью в определении их координат. Так первый дискретный рентгеновский источник, был зафиксирован в 1962 г. в созвездии Скорпиона детектором, установленным на ракете, и получил обозначение Sco X-1 (Джиакони и др., 1962). После уточнения его координат (Гурский и др., 1966), он был с точностью около 1' идентифицирован со звездой $V \approx 13^m$, имеющей ультрафиолетовый избыток в 1966 г. (Сандадж и др., 1966). С момента открытия дискретного рентгеновского источника до его идентификации в оптическом диапазоне спектра прошло четыре года.

Более драматичной оказалась история идентификация источников гамма диапазона спектра. Наиболее характерным примером является поиск в других спектральных диапазонах источников гамма вспышек (GRB - Gamma Ray Burst).

Впервые информация о наблюдениях 16-ти гамма вспышек была опубликована в 1973 г. (Клибсейдол и др., 1973). Они регистрировались четырьмя спутниками серии Vela¹ в период с июля 1969 г. по июль 1972 г. в диапазоне энергий 0.2 – 1.5 МэВ, имели продолжительность от 0.1 до более 30 секунд и интегрированную по времени плотность потока от $\sim 10^{-5}$ до $\sim 2 \times 10^{-4}$ эрг \times с \times см⁻². Направление прихода гамма вспышек не были связаны ни с Землей

¹ <https://heasarc.gsfc.nasa.gov/docs/heasarc/missions/vela5a.html>

(спутники регистрировали гамма излучение, обусловленное испытанием ядерного оружия), ни с Солнцем.

Лишь в феврале 1997 г. 28.123620 UT через 24 года спутник BeppoSAX² зарегистрировал мультипиковую GRB продолжительностью около 80 секунд. Изображение, полученное с помощью позиционно-чувствительной камеры гамма диапазона WFC (Wide Field Camera), позволило определить предварительные координаты вспышки R.A. = 5^h01^m57^s и Decl. = +11°46'.4 на эпоху 2000.0 с ошибкой 3' (Коста и др., 1997). Через 8 часов, благодаря наведению на область вспышки рентгеновского телескопа NFI (Narrow Field Instruments) удалось улучшить координаты GRB. А триангуляция наблюдений спутников BeppoSAX и Ulysses³ позволила определить координаты, по которым было обнаружено оптическое послесвечение - оптический транзист. Угасающий источник был найден при сравнении наблюдений, полученных на телескопах имени Гершеля⁴ и имени Ньютона⁵ (Гроот и др., 1997). Дальнейшие наблюдения на телескопе имени Хаббла⁶ позволили обнаружить не только ослабевающее послесвечение, но и возможную галактику – «хозяйку» оптического транзиста (Сахю и др., 1997). Так начиналась «Эра послесвечений» гамма вспышек. Некоторые из послесвечений были идентифицированы как сверхновые, природа других остается неизвестной до сих пор.

Ситуация с идентификацией объектов жесткого диапазона в оптике кардинально изменилась после запуска космических обсерваторий CGRO, Chandra, eROSITA, Fermi, GRANAT, INTEGRAL, MAXI, ROSAT, Rossi-XTE, XMM-Newton и создания межпланетной наблюдательной сети IPN (InterPlanetary Network)⁷. Больше информации об упомянутых проектах можно найти по ссылке⁸.

Несмотря на высокую точность локализации источников жесткого излучения, составляющую угловые минуты, далеко не все обнаруженные источники идентифицированы в оптическом диапазоне спектра. Это не позволяет детально изучить их природу.

Если в космических наблюдениях удалось повысить точность определения координат объектов жесткого излучения, то иначе складывается ситуация с наземными наблюдениями на телескопах, регистрирующих черенковское излучение, вызванное потоками гамма квантов в земной атмосфере. При покрытии области неба в несколько градусов, угловое разрешение черенковских телескопов составляет от 15' до 2°, что делает весьма проблематичным идентификацию в оптическом диапазоне спектра гамма источников.

В данной работе представлен анализ областей локализации шести источников ТЭВ гамма-излучения в оптическом диапазоне спектра. Указаны расстояния от положения максимумов в распределении высокоэнергетических потоков, до вероятных кандидатов на идентификацию с красными карликами. Также рассмотрены возможные отождествления более слабых источников гамма излучения с другими объектами.

Жесткое излучение Солнца и звезд

Спокойное Солнце является источником мягкого рентгеновского излучения, генерируемого в короне. При энергии квантов менее 10⁻⁹ эрг их поток резко убывает и практически не наблюдается в гамма диапазоне. Это было обнаружено во время первых экспериментальных и теоретических исследований жесткого излучения Солнца (Петерсон, Винклер, 1959). Во

² <https://heasarc.gsfc.nasa.gov/docs/sax/sax.html>

³ <https://web.archive.org/web/20110806115817/http://ulysses.jpl.nasa.gov/>

⁴ <http://www.ing.iac.es/astronomy/telescopes/wht/>

⁵ <http://www.ing.iac.es/astronomy/telescopes/int/>

⁶ https://www.nasa.gov/mission_pages/hubble/about

⁷ <https://heasarc.gsfc.nasa.gov/docs/heasarc/missions/ipn.html>

⁸ <https://heasarc.gsfc.nasa.gov/docs/>

время солнечных вспышек энергии квантов могут меняться в пределах от сотен кэВ до десятков МэВ (Холт, Рамати, 1969). При этом важно отметить корреляцию по времени между жестким рентгеновским и микроволновым излучениями. Поиск радиоимпульсов, совпадающих с наблюдениями в жестком диапазоне спектра по времени (Бэрд и др., 1975) не дал результатов. Однако, был получен верхний предел на радиоизлучение, исключаяющий звездные вспышки, как источник гамма-всплесков, при условии, что они подобны солнечным, но большие по масштабу (Кавалло, Джелли, 1975).

По мере совершенствования наблюдательного оборудования проблема идентификации жесткого излучения исходящего от звезд, в частности звезд – карликов нижней части Главной последовательности, получила своё развитие. Так, в каталоге GTSh10, из 5535 звезд с активностью солнечного типа (Гершберг и др., 2011) у близко 2000 объектов обнаружено рентгеновское излучение. Большая часть из них демонстрирует оптические вспышки со значительными амплитудами.

Уникальное событие было зарегистрировано для красного карлика DG CVn (Д'Элия и др., 2014). 23 апреля 2014 г. в 21:07:08 UT телескоп BAT (Burst Alert Telescope) на борту космической обсерватории Swift зарегистрировал вспышку в диапазоне энергий 15-50 кэВ, которая продолжалась 64 секунды. Дальнейшие наблюдения в рентгене позволили уточнить координаты вспышки до 4".9 и идентифицировать объект со вспыхивающей звездой спектрального типа M4.0V DG CVn.

Актуальность исследований вспышечной активности красных карликов обусловлена открытием экзопланет у нескольких тысяч звезд, немалая часть которых является звездами с активностью солнечного типа (Горбачев и др., 2019). Более подробно данная проблема изложена в статье (Кабальеро-Гарсия и др., 2016).

Наблюдения областей красных карликов в ТэВ диапазоне

Очевидно первые наблюдения областей, содержащих красные карлики в ТэВ диапазоне с энергиями $\sim 10^{12}$ эВ, были выполнены в Крымской астрофизической обсерватории в 1994 г. (Алексеев и др., 1995). При проведении параллельных наблюдений EV Lac в оптическом диапазоне на телескопе АЗТ-11 и на черенковском телескопе ГТ-48 в течение нескольких ночей, были обнаружены коррелирующие по времени события в оптике и гамма лучах. Наиболее статистически надежный результат в ТэВ диапазоне был получен незадолго до оптической вспышки 31 августа 1994 г. в 19:40 UT. Учитывая несовпадение координат вспышки и EV Lac на $0^{\circ}.6$, авторы сообщили о возможной связи гамма вспышки и вспышки в оптическом диапазоне.

В статьях «Галактические космические лучи: первое обнаружение ТэВ гамма-излучения от красных карликов» и «Новый тип источников галактических космических лучей» (Синицына и др., 2019, Синицына и др., 2020) представлены данные долгосрочных наблюдений в эксперименте SHALON, направленных на поиск излучения от звезд – активных красных карликов с интенсивностью выше 800 ГэВ. Все объекты расположены на угловых расстояниях менее 5° от наблюдаемых программных источников ТэВ-излучения (остатка сверхновой Тихо, Крабовидной туманности, объектов 4C+41.63 и Cyg X-3). Так как в эксперименте SHALON поле зрения телескопа больше 8° , то при наблюдении программных объектов в площадку одновременно попадают эруптивные (Er) и/или вспыхивающие (Fl) звезды: V388 Cas (Er), V1589 Cyg (Fl/Er), GJ 1078 (Fl), GL 851.1, V780 Tau (Fl/Er) и V962 Tau (Er).

В статье (Синицына и др., 2020) авторами представлена идентификация собственных наблюдений в рентгеновском диапазоне спектра с объектами, указанными в таблице 1. К сожалению, авторы не совместили полученные данные, представленные в виде изофот, с

оптическими изображениями изучаемых областей и не выполнили идентификацию возможных источников поля.

Таблица 1.

Объект	Рентгеновский источник	Объект	Рентгеновский источник
V388 Cas	1RXS J010318.0+622146	GL 851.1	-
V1589 Cyg	2RSX J204249.0+412246	V780 Tau	2RXS J054025.1+244839
GJ 1078	1RXS J052327.7+222649	V962 Tau	2RXS J054552.1+225248

Оптические отождествления, рентгеновские источники и возможные кандидаты для ТЭВ излучения

Для проведения отождествления в оптическом диапазоне спектра изображений источников ТЭВ излучения применялся интерактивный атлас неба Aladin (Боннарель и др., 2000) с подгружаемыми базами данных, поддерживаемыми Центром астрономических данных в Страсбурге.

Основные данные об отождествляемых звёздах представлены в таблице 2.

Таблица 2.

Объект	SIMBAD	R.A. (2000)	Decl. (2000)	pmRA (mas)	pmDE (mas)	Type	B (mag)	V (mag)	Sp. type	Dist.
V388 Cas	Wolf 47	01 03 19.83	+62 21 55.8	730.74	86.352	Er	15.46	13.78	M5V	15"
V1589 Cyg	V* V1589 Cyg	20 42 49.16	+41 23 00.0	67.3	-31.1	FI/Er	15.29	13.59	-	15"
GJ 1078	G 85-69	05 23 49.05	+22 32 38.8	236.0	-300.0	FI	17.35	15.52	M4.5V	9"
GL 851.1	BD+30 4633	22 12 06.42	+31 33 41.1	-344	-418.8	FI	11.43	10.15	K5V/dM0e	21"
V780 Tau	G 100-28	05 40 25.73	+24 48 07.8	107.0	-376.0	FI/Er	16.74	14.94	M7V	10"
V962 Tau	V* V962 Tau	05 45 51.94	+22 52 47.4	0.142	-9.959	Er	13.5	-	-	10"

В первой колонке таблицы приведено обозначение звезды по (Синицына и др., 2020), во второй – основное обозначение по SIMBAD. Третья и четвёртая колонки содержат экваториальные координаты объектов на эпоху 2000 года. В пятой и шестой – собственные движения звёзд по прямому восхождению и склонению в угловых миллисекундах в год. В седьмой – тип переменности звезды. В восьмой и девятой – блеск в полосах B и V. Десятая колонка содержит информацию о спектральном типе звезды, и одиннадцатая – угловое расстояние от максимума потока в диапазоне гамма излучения до оптического изображения звезды.

V388 Cas

Максимум потока в диапазоне гамма излучения (МГИ) находится на расстоянии 15 угловых секунд от оптического положения V388 Cas (рис. 1). На рисунке максимум соответствует наиболее красному оттенку изофоты и практически совпадает с красным маркером и окружностью того же цвета, очевидно ограничивающей область ошибок (error radius - ER) в определении координат рентгеновского источника (РИ), которым авторы (Синицына и др., 2020) отметили положение 1RXS J010318.0+622146. Однако, реально, положение источника находится несколько ниже (зелёные окружности меньшего радиуса – $1 \times ER$ и большего радиуса – $3 \times ER$, отмечены цифрами 2 и 3) на расстоянии 23".

Красной окружностью с $ER = 0''.8$ (цифра – 4) – указано положение РИ 4XMM J010321.3+622157 (Уэбб и др., 2020), зарегистрированного телескопами XMM-Newton, и находящегося на расстоянии 28" от МГИ. Желтой окружностью с $ER = 3''.9$, с удалением на 27" (цифра – 5), – указано положение РИ 2SXPS J010321.2+622159 (Эванс и др., 2020), наблюдавшегося обсерваторией Swift.

Малыми окружностями желтого цвета на рисунке показаны положения звезд из каталога GAIA DR2 (GAIA, 2018). Цифра 1 соответствует V388 Cas. Разница в положении звезды по данным GAIA и на оптическом изображении обусловлена значительным собственным движением (730.740 по прямому восхождению и 86.352 по склонению угловых миллисекунд в год, соответственно).

Обращают на себя внимание несколько областей в окрестностях V388 Cas, в которых расположены слабые источники гамма-излучения, ограниченные прямоугольниками желтого цвета (помечены цифрами 6, 7, 8, 9 и 10). Внутри находятся объекты из каталога GAIA DR2 со следующими характеристиками (таблица 3).

Таблица 3.

№	R.A. (2000)	Decl. (2000)	Plx	pmRA	pmDE	G	G _{BP}	G _{RP}	Teff	Rad	Lum
1	015.83942594	+62.36588063	101.6371	730.740	86.352	11.9238	13.9068	10.6032	3346.00	-	-
6	015.81867355	+62.36274707	0.4845	-1.450	-0.828	17.8200	18.5362	16.9453	-	-	-
7	015.79997556	+62.36915143	-0.0123	0.921	0.653	19.6506	20.5764	18.5647	-	-	-
8	015.81488911	+62.37208876	0.3020	-1.116	-0.125	16.5141	17.8314	15.3511	3670.99	-	-
9↑	015.82903889	+62.37352009	1.5970	2.231	-7.581	15.1327	15.7619	14.3744	4547.58	0.92	0.326
9↓	015.82802289	+62.37205461	0.6506	8.320	-2.823	16.7946	17.5051	15.9437	4312.85	1.23	0.470
10	015.83925097	+62.36866398	0.3280	-3.790	-0.808	13.5627	14.4896	12.6116	3945.89	14.34	44.925

В таблице 3 указаны номера прямоугольников со слабыми источниками гамма излучения, в которых обнаружены объекты, за исключением № 1, соответствующего V388 Cas. Номера 9↑ и 9↓ принадлежат верхнему и нижнему объектам в девятом прямоугольнике. Далее в столбцах: координаты объектов, параллакс, собственное движение по прямому восхождению и склонению по каталогу GAIA DR2, средние звёздные величины в полосах G, G_{BP} и G_{RP} в фотометрической системе GAIA, эффективная температура, радиусы и светимости звёзд в сравнении с солнечными.

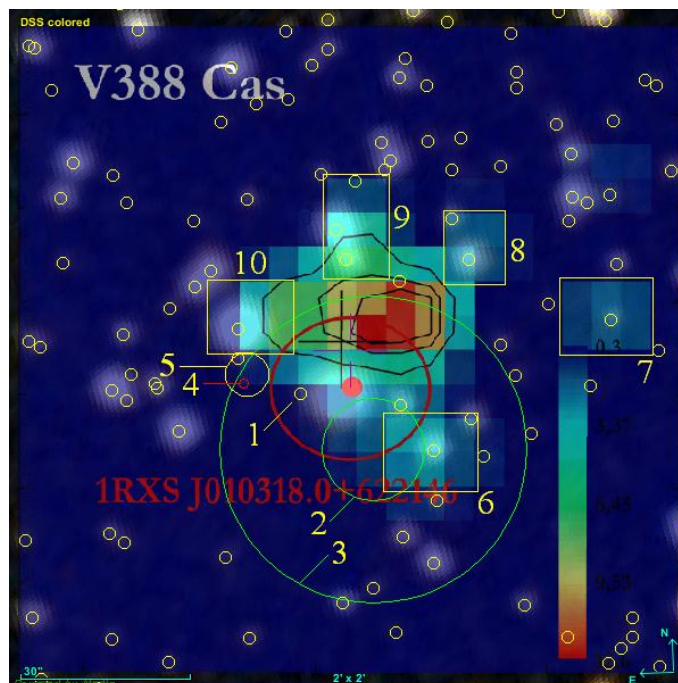


Рис. 1. Комбинированное оптическое (DSS colored) и ТЭВ изображения области V388 Cas. Окружностями обозначены положения и ER рентгеновских источников, прямоугольниками – возможные оптические отождествления. Малыми желтыми окружностями отмечены звёзды из каталога GAIA DR2.

Отметим, что согласно данным 2-го каталога источников ROSAT (Болир и др., 2016), объект 1RXS J010318.0+622146 ассоциируется с рентгеновским источником 2RXS J010318.3+622140 и демонстрирует слабую переменность (рис. 2).

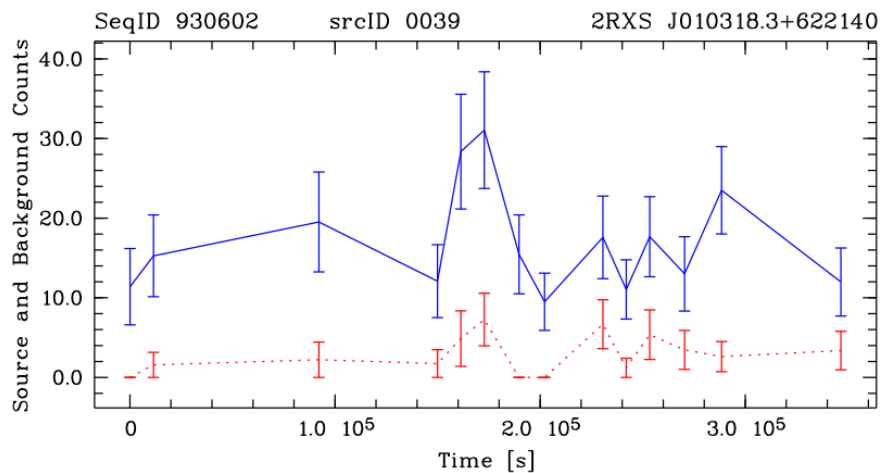


Рис. 2. Кривая блеска объекта 2RXS J010318.3+622140 в рентгеновском диапазоне спектра. По осям отложены: время от начала наблюдений в секундах и отсчеты детектора для источника (синяя кривая) и фона (красная кривая). Указаны ошибки измерений.

Следует также отметить, что РИ 2SXPS J010321.2+622159 имеет более близкое расположение к объекту 10 из таблицы 3, чем к V388 Cas. А в случае использования критерия $3 \times ER$, однозначно попадает в поле рентгеновского источника.

V1589 Cyg

Координаты, приведенные в статье Сенициной и др. на 1 градус (рис. 3а) отличаются от координат объекта в базе данных SIMBAD (Венга и др., 2000). Звезда находится в верхней части изображения, площадка зарегистрированного гамма излучения в нижней части рисунка. При приведении координат ТЭВ изображения в соответствие с координатами V1589 Cyg, максимум потока в гамма диапазоне находится на расстоянии ~ 15 угловых секунд от оптического положения звезды (рис. 3б).

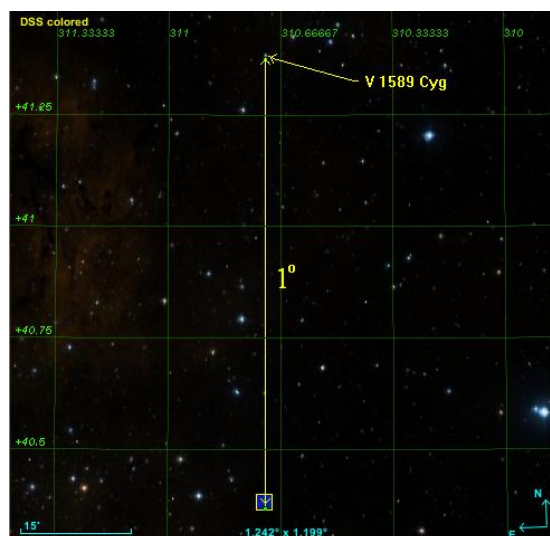


Рис. 3а. Реальное положение V1589 Cyg (в верхней части рисунка), и положение ТЭВ источника, в соответствие с координатами из (Сеницына и др., 2020).

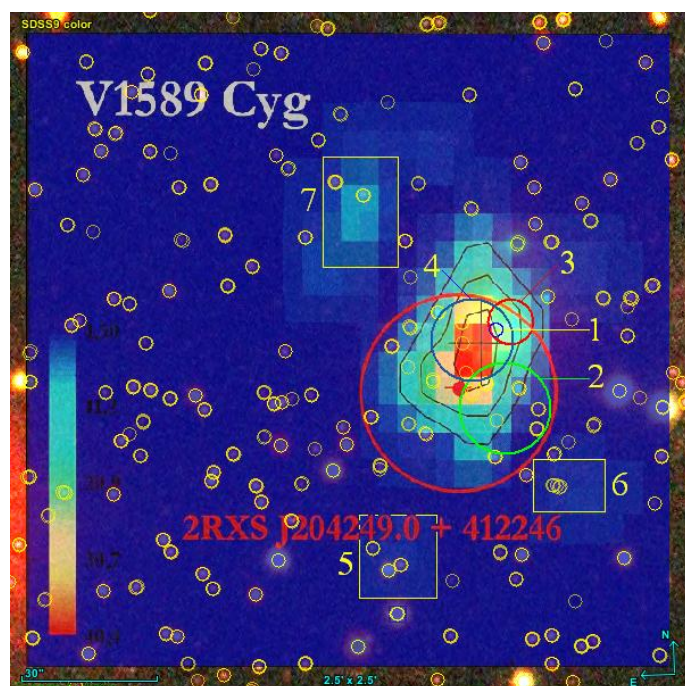


Рис. 3б. Комбинированное оптическое (SDSS9 color) и ТЭВ изображения области V1589 Cyg. Окружностями обозначены положения и ER рентгеновских источников, прямоугольниками области с возможными оптическими отождествлениями. Малыми желтыми окружностями отмечены звёзды из каталога SDSS DR12.

Цифрами на рисунке 3б обозначены: 1 – положение V1589 Cyg, согласно координат на эпоху 2000 года (синяя окружность малого радиуса); 2 – зелёная окружность, соответствующая 1×ER источнику 1RXS J204249.0+412242; 3 - красная окружность малого радиуса, соответствует 1×ER источника XMMSL2 J204248.9+412302 (XMM-SSC, 2017); 4 - синяя окружность – область ошибок положения объекта 1SWXRT J204249.6+412257 из каталога обсерватории Swift (Д'Элия и др., 2013). Малыми желтыми окружностями отмечены звёзды из каталога SDSS DR12 (Алям и др., 2015).

Большая окружность красного цвета – положение и ER источника 2RXS J204249.0+412245 из (Синицына и др., 2020). Отметим, что более близкими по координатам к V1589 Cyg, и имеющими меньший ER, являются источники рентгеновского излучения XMMSL2 J204248.9+412302 и 1SWXRT J204249.6+412257.

Представляют интерес объекты (рис. 4), расположенные в областях слабого гамма излучения, обозначенные на рисунке 3б желтыми прямоугольниками с цифрами 5, 6 и 7. Максимум потока в них превышает уровень фона более чем в 3 раза для областей 5 и 6, и около 7 раз для области 7 (Оценка потока производилась по шкале интенсивностей изофоты, приведенной в левой части рисунка). Некоторые из объектов в данных областях (таблица 4) могут являться источниками гамма излучения.



Рис. 4а. Карта области 5.

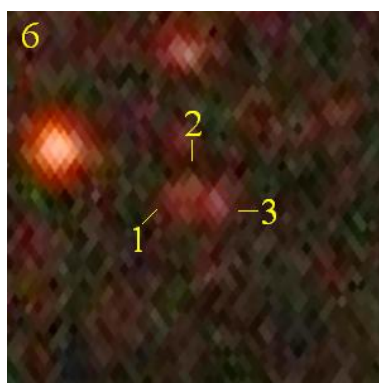


Рис. 4б. Карта области 6.



Рис. 4в. Карта области 7.

Таблица 4

№	R.A. (2000)	Decl. (2000)	n	u	er_u	g	er_g	r	er_r	i	er_i	z	er_z	Sp
5.1	310.71493530	+41.36992645	3	24.966	0.836	25.037	0.585	23.865	0.474	22.070	0.161	20.869	0.227	K5
5.2	310.71368408	+41.36857986	4	25.075	0.905	21.431	0.052	19.367	0.014	18.330	0.010	17.610	0.018	M5
5.3	310.71267700	+41.36889267	3	24.885	0.898	24.976	0.548	23.218	0.312	21.014	0.068	19.570	0.077	M3
6.1	310.70025635	+41.37376785	2	24.338	0.873	24.603	0.590	23.691	0.572	21.437	0.131	20.042	0.160	K2
6.2	310.69989600	+41.37380900	1	25.673	0.884	26.649	0.382	25.641	0.626	23.606	0.801	20.507	0.256	K5
6.3	310.69964600	+41.37366486	2	24.700	0.937	24.490	0.482	24.584	0.618	22.528	0.273	20.879	0.231	A2
7.1	310.71801758	+41.39233780	4	25.696	0.720	24.912	0.580	22.309	0.154	20.643	0.055	19.247	0.067	M6
7.2	310.71572876	+41.39153671	3	24.945	0.779	24.820	0.564	22.899	0.233	21.180	0.075	19.726	0.087	M4

В таблице 4 указаны номера прямоугольников со слабыми источниками гамма-излучения и соответствующие им номера объектов в этих областях. Далее в столбцах: координаты объектов, число наблюдений, средние значения звёздных величин и ошибок их определения в полосах u, g, r, i, z в цветовой системе каталога SDSS DR12. В последней колонке – ориентировочный усреднённый спектральный тип объектов, найденный по показателям цвета (Пеко и Мамежек, 2013, Мамежек, 2019).

Все объекты в областях, за исключением 6.1 классифицированы в каталоге SDSS DR12 как звёзды и имеют хорошее качество наблюдений. Объект 6.1 имеет две классификации, как звезда и как галактика на основе моделирования фотометрического профиля его изображения. Возможно, все три объекта области 6, учитывая их близкое расположение, являются единым протяжённым объектом – галактикой, а классификация объектов 2 и 3 – ошибочной.

GJ 1078

Рентгеновский источник 1RXS J052327.7+222649 (Водис и др., 2000), представленный в статье (Синицына и др., 2020), как возможная идентификация для GJ 1078 находится на расстоянии более 7 угловых минут от максимума ТЭВ изображения и имеет радиус ошибок значительно меньший, чем приведен в публикации. На рисунке 5 положение 1RXS J052327.7+222649 и ER (12"), соответствующий ему, (окружность зелёного цвета), показан в правой нижней части изображения.

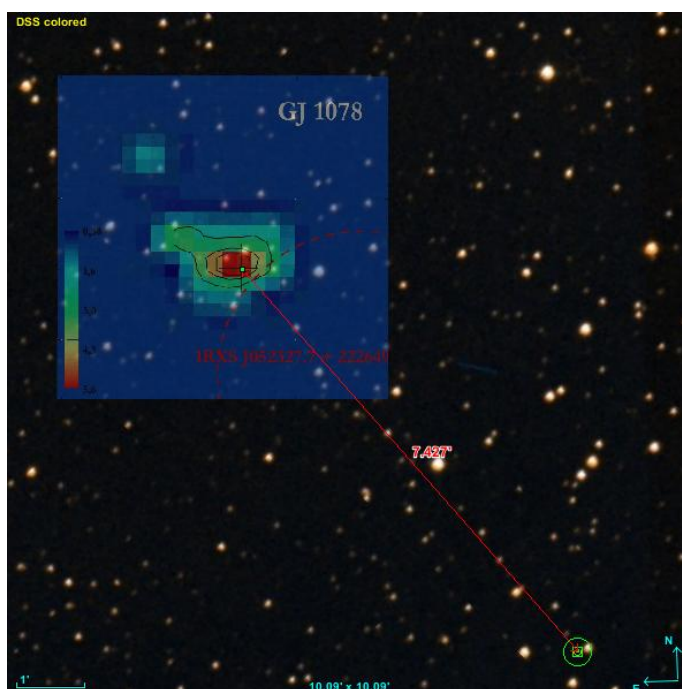


Рис. 5. Комбинированное оптическое (DSS colored) и ТЭВ изображения области GJ 1078.

Возможной идентификацией для РИ 1RXS J052327.7+222649 является звезда, попадающая в ER, GAIA DR2 3414565834307772672 с характеристиками, указанными в таблице 5.

R.A. (2000)	Decl. (2000)	Plx	pmRA	pmDE	G	G _{BP}	G _{RP}	Teff
080.86267583	+22.44798972	10.0892	-21.366	-28.036	14.3127	15.6859	13.1702	3887.82

В таблице приведены координаты звезды, её параллакс, собственное движение по прямому восхождению и склонению в стандартных единицах, звёздные величины в полосах **G**, **G_{BP}**, **G_{RP}** в фотометрической системе каталога GAIA DR2, и эффективная температура (K).

Объект 1RXS J052327.7+222649, занесенный в каталог источников ROSAT (Болир и др., 2016), как 2RXS J052327.6+222649 демонстрирует незначительную переменность на уровне фона в рентгеновском диапазоне, показанную на рисунке 6.

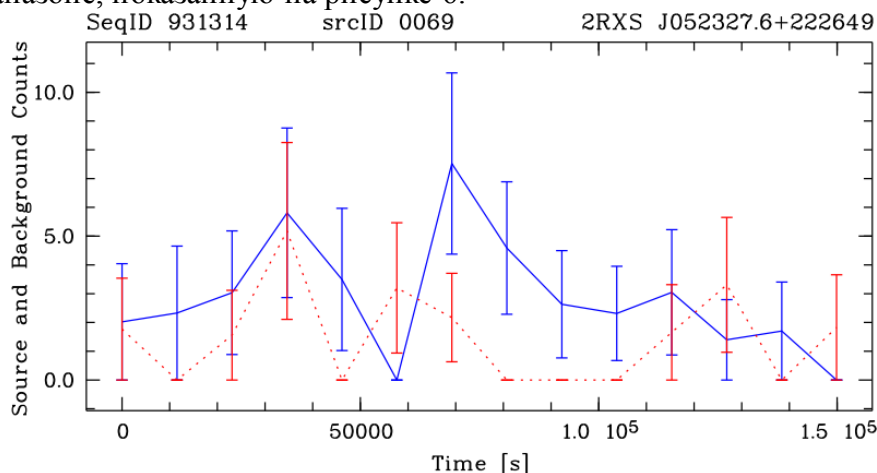


Рис. 6. Кривая блеска объекта 2RXS J052327.6+222649 в рентгеновском диапазоне спектра. По осям отложены: время от начала наблюдений в секундах и отсчеты детектора для источника (синяя кривая) и фона (красная кривая). Указаны ошибки измерений.

Рассмотрим детально область ТэВ изображения для GJ 1078 из (Синицына и др., 2020), представленную на рисунке 7. Цифрами обозначено: 1 – положение GJ 1078 из каталога GAIA DR2. Звезда находится на расстоянии 9" от максимума ТэВ источника; 2 – РИ 1RXH J052349.0+223251 (RST, 2000), имеющий ER 9" (зелёная окружность); 3 – РИ 1RXH J052349.5+223236 (RST, 2000) с ER 12" (желтая окружность), который наилучшим образом согласуется по положению с GJ 1078; 4, 5 и 6 – области повышенного гамма излучения (рис. 8а, б, в), объекты из которых содержатся в таблице 6. Отметим, также, что в область РИ 1RXH J052349.5+223236 попадает звезда, отмеченная в таблице 6 под номером 7.

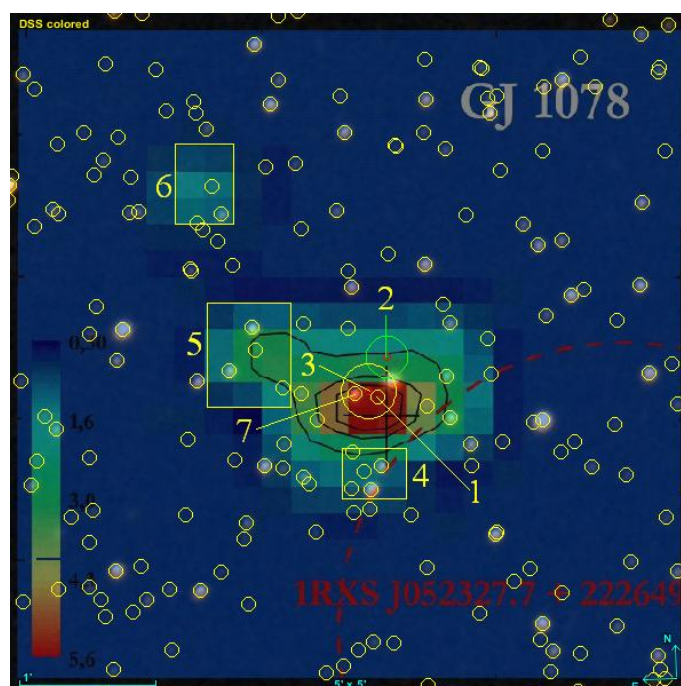


Рис. 7. Комбинированное оптическое (DSS colored) и ТэВ изображения области GJ 1078 с указанием объектов, и областей для которых выполнено отождествление.

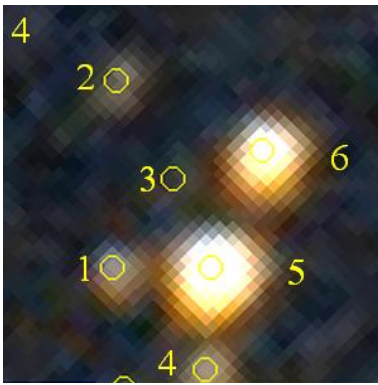


Рис. 8а. Карта области 4.

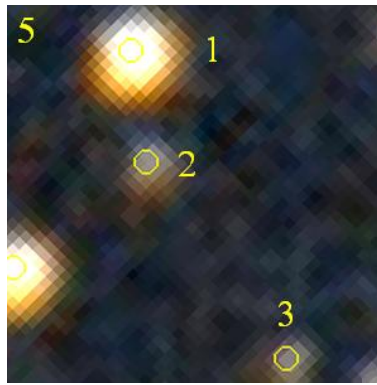


Рис. 8б. Карта области 5.

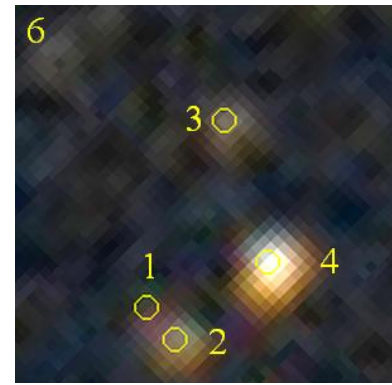


Рис. 8в. Карта области 6.

Таблица 6

№	R.A. (2000)	Decl. (2000)	Plx	pmRA	pmDE	G	G _{BP}	G _{RP}	Teff	Rad	Lum
4.1	080.95877765	+22.53166155	0.4863	-0.857	-2.930	19.2419	20.3034	18.1495	-	-	-
4.2	080.95869733	+22.53614840	1.6889	-1.487	0.121	19.8610	20.4998	18.8138	-	-	-
4.3	080.95720994	+22.53378669	0.8952	5.567	-10.956	20.4132	21.0040	19.0972	-	-	-
4.4	080.95637812	+22.52918229	0.4649	-0.462	-2.973	19.1219	20.0388	18.1138	-	-	-
4.5	080.95624474	+22.53162562	0.6151	-1.024	-2.809	15.6819	16.4185	14.8271	4430.25	2.00	1.388
4.6	080.95490905	+22.53444779	0.6055	0.384	-8.921	16.7066	17.6193	15.7507	3883.25	-	-
5.1	080.97186813	+22.55128457	0.8428	2.418	-3.582	16.2663	17.0784	15.3653	4008.50	1.53	0.543
5.2	080.97147333	+22.54862508	0.1456	0.231	-1.259	19.3775	20.1277	18.4256	-	-	-
5.3	080.96782341	+22.54390129	-0.0681	-0.261	-0.314	19.5618	20.4901	18.5803	-	-	-
6.1	080.97919404	+22.56397196	0.5140	1.560	-5.213	20.5542	20.9304	19.2965	-	-	-
6.2	080.97843061	+22.56320793	0.7603	0.791	-0.843	19.4131	20.0881	18.3599	-	-	-
6.3	080.97714800	+22.56847806	0.0570	1.022	-0.240	20.0700	20.9232	18.9711	-	-	-
6.4	080.97603549	+22.56508820	0.1715	1.641	-1.392	17.6060	18.5273	16.6349	-	-	-
7	080.95844612	+22.54333320	0.4040	-1.151	-2.167	16.7120	17.4675	15.8276	4239.00	-	-

Описание колонок в таблице 6 соответствует описанию к таблице 3.

Из рассматриваемых звёзд, попадающих в области гамма излучения, превышающие уровень фона, представляют интерес объекты 4.5 (K6.5V) и 5.1 (K8V), для которых имеется информация по эффективной температуре, радиусу и светимости. Усреднённый спектральный тип объектов, определённый по информации из каталога GAIA DR2 о показателях цвета $G - G_{RP}$ и $G_{BP} - G_{RP}$, дал следующие результаты: для 4.5 – K6.5V и 5.1 – K8V.

GL 851.1

Карта для данного объекта, представленная в статьях (Синицына и др., 2019, Синицына и др., 2020) является зеркальной. Поэтому для наложения её на оптическое изображение она была развёрнута относительно вертикальной оси на 180° (рис. 9). Желтые окружности – объекты из каталога GAIA DR2. Цифрой 1 обозначена звезда GL 851.1. Её расстояние до максимума гамма излучения составляет 21 угловую секунду. Данные для объектов 2 и 3 из каталога GAIA DR2 содержатся в таблице 7. Описание колонок в таблице 7 соответствует описанию к таблице 3.

Таблица 7

№	R.A. (2000)	Decl. (2000)	Plx	pmRA	pmDE	G	G _{BP}	G _{RP}	Teff	Rad	Lum
2	333.03401553	+31.55554772	1.2811	-0.320	4.852	19.7206	20.2451	18.4217	-	-	-
3	333.03330817	+31.55555801	0.1898	0.057	-5.447	17.6793	18.0652	17.0552	-	-	-

Объекты 2 и 3 находятся на расстоянии 2.3 угловые секунды друг от друга и попадают в область слабого гамма излучения, связываемого с GL 851.1. Интерес к ним обусловлен тем, что объект 3 является карликом, согласно (Стассун и др., 2019), с усреднённым спектральным классом G2 по данным фотометрии SDSS DR16 (Ахумада и др., 2020). Объект 2 по наблюдениям GAIA также является звездой. Для неё определён параллакс и собственные движения. Однако, в случае определения собственного движения имеют место значительные ошибки. Для $pmRA = -0.320$

угловых миллисекунд в год ошибка составляет 0.589, а для $\text{pmDE} = 4.852$, соответственно, 0.821. Ошибки в определении параллакса также значительны: 0.4273 угловые миллисекунды. При использовании критерия 3σ величина ошибок незначительно превышает значение определённого параллакса ($3\sigma = 1.2819$).

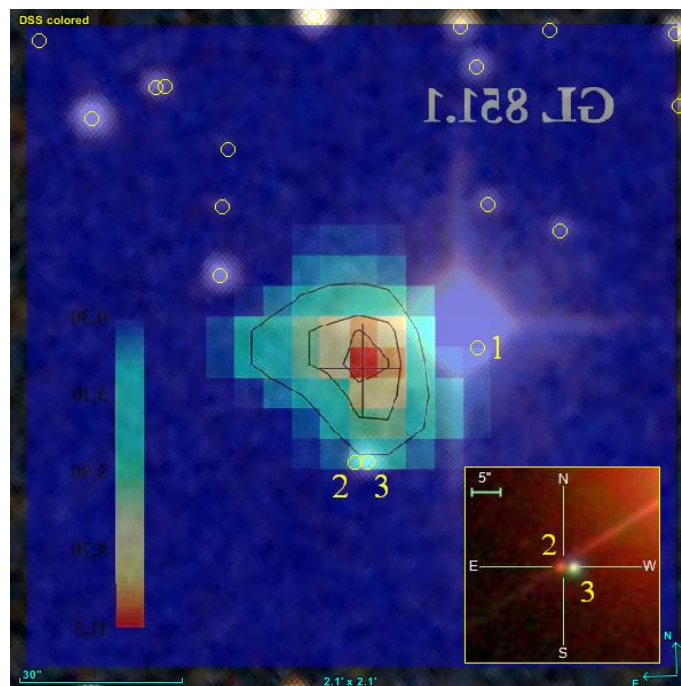


Рис. 9. Комбинированное оптическое (DSS colored) и ГэВ изображения области GL 851.1. На врезке – объекты 2 и 3 в атласе SDSS.

По данным SDSS DR16 объект 2 является галактикой с фотометрическим (Аяйдзу и др., 2008) красным смещением 0.171 ± 0.1692 . Значительные ошибки в определении красного смещения ставят его достоверность под сомнение. Возможно, и это хорошо видно на врезке рисунка 9, определение объекта 2 как галактики обусловлено проекцией дифракционного луча от GL 851.1 и последующей некорректной обработкой изображения.

V780 Tau

Максимум потока в диапазоне гамма излучения находится на расстоянии ~ 10 угловых секунд от оптического положения V780 Тау, обозначенного цифрой 1 на рисунке 10. Все рассматриваемые ниже объекты из каталога GAIA DR2 прорисованы желтыми окружностями. Учитывая значительное собственное движение V780 Тау, на оптическом изображении области положение её занимает звезда № 3. Сама же V780 Тау на эпоху 2000.0 сместилась ниже и левее.

Данные для объектов, попадающих в области повышенного гамма излучения (обозначены желтыми прямоугольниками) в окрестностях V780 Тау, представлены в таблице 8. Описание колонок в таблице 3 соответствует таблице 8.

Таблица 8

№	R.A. (2000)	Decl. (2000)	Plx	pmRA	pmDE	G	G _{BP}	G _{RP}	Teff	Rad	Lum
2	085.11024188	+24.80279535	0.2364	3.406	-1.215	16.0450	16.6976	15.2211	4332.67	-	-
3	085.10686509	+24.80357145	0.0514	1.992	-0.753	19.4176	20.1994	18.4724	-	-	-
4	085.10766325	+24.79806903	-	-	-	20.5223	21.0957	19.0595	-	-	-
5	085.10796446	+24.79425983	0.0066	2.105	-0.751	18.7862	19.4006	17.9025	-	-	-
6	085.10315316	+24.79172505	-0.0479	1.568	-0.873	18.5154	19.0813	17.5660	-	-	-

Под V780 Тау цифрой 6 обозначен объект из GAIA DR2 (GAIA, 2018) с G_{RP} звёздной величиной $17^m.566$, который совпадает по положению со слабым регистрируемым потоком гамма-излучения (обозначено желтым прямоугольником). Звезда имеет координаты $05^h40^m24^s.76 +24^\circ47'30''.2$, для неё определён параллакс и собственное движение. Однако данные каталога IGAPS (Монгуё и др., 2020),

полученные на основе наблюдений на телескопе Исаака Ньютона (INT) между 2003 и 2018 годами, вносят неопределённость в классификацию объекта как звезды или галактики.



Рис. 10. Наложение изофоты гамма излучения области V780 Tau на оптическое изображение (DSS colored).

Отметим, что V780 Tau демонстрирует слабую переменность в рентгеновском диапазоне спектра по данным 2-го каталога источников ROSAT (Болир и др., 2016). Изменение регистрируемого потока 2RXS J054025.1+244839 с течением времени продемонстрировано на рисунке 11.

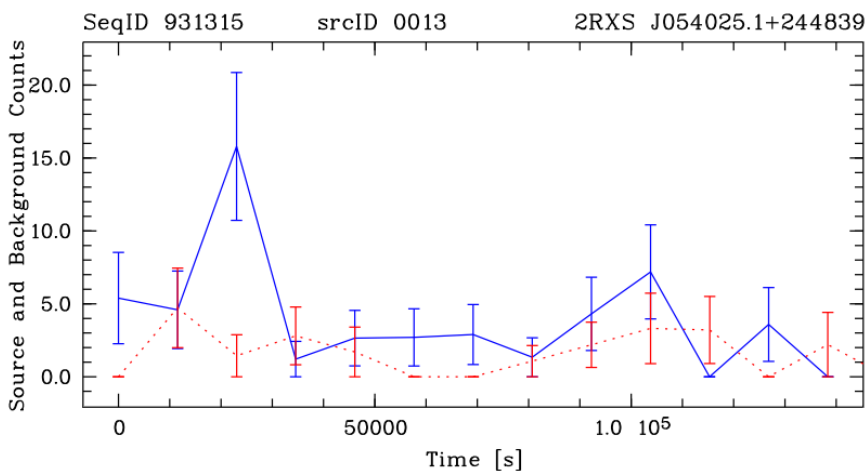


Рис. 11. Кривая блеска объекта 2RXS J054025.1+244839 = V780 Tau в рентгеновском диапазоне спектра. По осям отложены: время от начала наблюдений в секундах и отсчеты детектора для источника (синяя кривая) и фона (красная кривая). Указаны ошибки измерений.

V962 Tau

V962 Tau, обозначенная на рисунке 12 цифрой 1 находится на расстоянии ~ 10 угловых секунд от максимума потока в диапазоне гамма излучения. Данные об объектах, попадающих в область более слабого гамма излучения, представлены в таблице 9. Описание колонок в таблице 9 соответствует описанию к таблице 3.

Таблица 9

№	R.A. (2000)	Decl. (2000)	Plx	pmRA	pmDE	G	G _{BP}	G _{RP}	Teff	Rad	Lum
2	086.46128416	+22.88003290	8.9771	3.820	-37.943	12.9985	14.4091	11.8235	4078.39	0.61	0.093
3	086.46016711	+22.87969449	1.1031	2.352	-5.134	18.6179	19.0753	17.0258	-	-	-

Представляет интерес звезда № 2 вблизи V962 Тау. В пределах одной угловой секунды по координатам положение звезды из каталога GAIA DR2 совпадает с рентгеновским источником 2SXPS J054550.7+225249 из "Чистой" версии каталога точечных источников рентгеновского телескопа обсерватории Swift (Эванс и др., 2020). Таким образом, GAIA DR2 3427527766435285248 является возможным оптическим кандидатом на идентификацию с РИ 2SXPS J054550.7+225249.

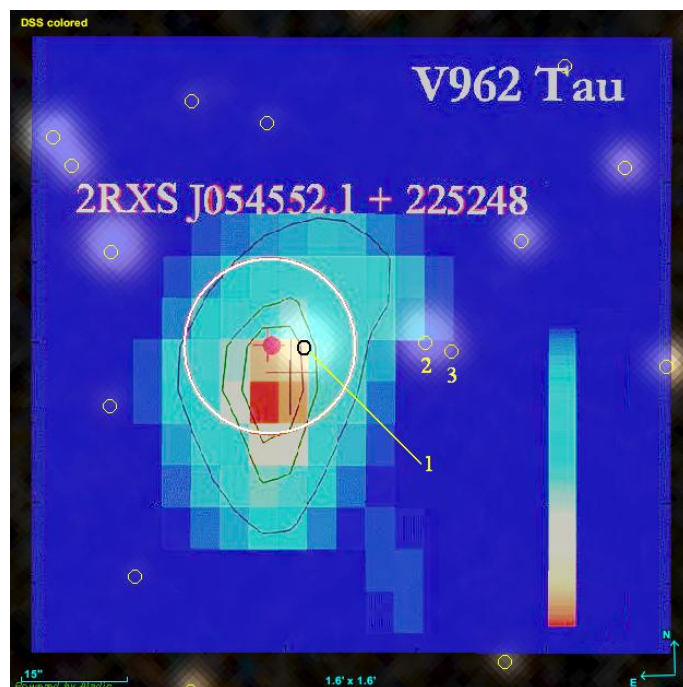


Рис. 12. Локализация ТэВ источника на фоне оптического изображения области V962 Тау (DSS colored).

V962 Тау демонстрирует значительную переменность в рентгеновском диапазоне на уровне фона (с подобием квазипериодичности) по данным (Болир и др., 2016), что проиллюстрировано на рисунке 13.

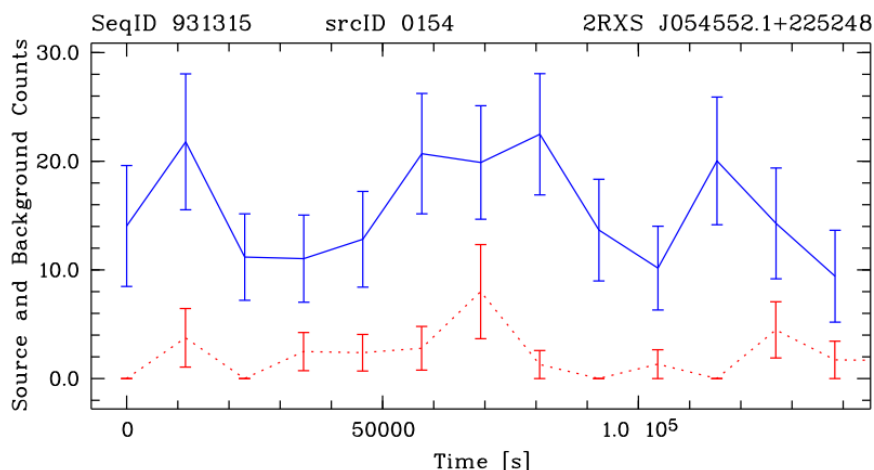


Рис. 13. Кривая блеска объекта 2RXS J054552.1+225248 = V962Тау в рентгеновском диапазоне спектра. По осям отложены: время от начала наблюдений в секундах и отсчеты детектора для источника (синяя кривая) и фона (красная кривая). Указаны ошибки измерений.

Заключение

В результате проведенного анализа было установлено соответствие источников ТэВ излучения красным карликовым звёздам. Высказано предположение о возможной идентификации в оптической области спектра других объектов поля. В частности рентгеновских источников: 2SXPS J010321.2+622159 = 522864272037651712, 1RXS J052327.7+222649 = 3414565834307772672, 2SXPS J054550.7+225249 = 3427527766435285248. После знака равенства указано уникальное для

всех выпусков данных GAIA обозначение источника. Формально, перед обозначением должно стоять «Gaia DR2».

Составлен список 39 объектов, попадающих в области слабого гамма излучения, превышающего уровень фона, и в окрестностях звёзд, рассмотренных в статьях (Синицына и др., 2019, Синицына и др., 2020). Следует, также отметить, что координатное обеспечение рисунков с распределением гамма излучения вблизи рассмотренных красных карликов имеет ошибки. Это несколько усложнило идентификацию в оптическом диапазоне.

При выполнении работы активно использовались поддерживаемые Центром астрономических данных в Страсбурге приложения SIMBAD, VizieR и Aladin, а также библиографический сервис SAO/NASA ADS. Автор признателен всем, кто обеспечивает их работу и выражает благодарность Российскому фонду фундаментальных исследований за частичную поддержку проведённых исследований за счёт грантов № 19-02-00191 и № 19-29-11027.

Автор искренне благодарен М.М. Кацовой за обсуждение статьи и высказанные полезные замечания.

Литература

- Алексеев и др. (Alekseev I.Yu., Chalenko N.N., Fomin V.P. et al.) A Possible Discovery of a Flaring 10^{12} eV Gamma-ray Source near the Red Dwarf EV Lac // Flares and Flashes; Proceedings of the IAU Colloquium No. 151; Held in Sonneberg; Germany; 5 - 9 December 1994; XXII; 477 pp.. Springer-Verlag Berlin Heidelberg New York. Also Lecture Notes in Physics; volume 454 Edited by Jochen Greiner, Hilmar W. Duerbeck, and Roald E. Gershberg, – 1995, – P.78.
- Алям и др. (Alam S., Albareti F.D., Allende P.C.) // The Astrophysical Journal Supplement Series, – 2015, – V. 219, – I. 1, – Id. 12, – 27 pp.
- Ахумада и др. (Ahumada R. Allende P.C., Almeida A. et al.) The 16th Data Release of the Sloan Digital Sky Surveys: First Release from the APOGEE-2 Southern Survey and Full Release of eBOSS Spectra // The Astrophysical Journal Supplement Series, – 2020, – V. 249, – I. 1, – Id. 3, – 21 pp.
- Аяйду и др. (Oyaizu H., Lima M., Cunha C.E. et al.) A Galaxy Photometric Redshift Catalog for the Sloan Digital Sky Survey Data Release 6 // The Astrophysical Journal, – 2008, – V. 674, – I. 2, – pp. 768-783.
- Боннарель и др. (Bonnarel F., Fernique P., Bienaymé O. et al.) The ALADIN interactive sky atlas. A reference tool for identification of astronomical sources // Astronomy and Astrophysics Supplement – 2000, – V.143, – P.33-40.
- Болир и др. (Boller Th., Freyberg M.J., Trümper J. et al.) Second ROSAT all-sky survey (2RXS) source catalogue // Astronomy & Astrophysics, – 2016, – V.588, – id.A103, – 26 pp.
- Бэрд и др. (Baird G.A., Delaney T.J., Lawless B.G. et al.) A search for VHF radio pulses in coincidence with celestial gamma-ray bursts // Astrophysical Journal, – 1975, – V.196, – I.2, – P.L11-L13.
- Венга и др. (Wenger M., Ochsenbein F., Egret D. et al.) The SIMBAD astronomical database. The CDS reference database for astronomical objects // Astronomy and Astrophysics Supplement, – 2000, – V.143, – P.9-22.
- Водис и др. (Voges W., Aschenbach B., Boller Th.) Rosat All-Sky Survey Faint Source Catalogue // IAU Circ., – 2000, – No. 7432, – #3.
- GAIA. (Gaia Collaboration, Brown A.G.A., Vallenari A. et al.) Gaia Data Release 2. Summary of the contents and survey properties // Astronomy and Astrophysics, – 2018, – V.616, – Id.A1, – P.22.
- Гершберг и др. (Gershberg R.E., Terebizh A.V., Shlyapnikov A.A.) Stars with solar-type activity: GTSh10 catalogue // Bulletin of the Crimean Astrophysical Observatory, – 2011, – V.107, – I.1, – P.11-19.
- Горбачев М.А., Игнатов В.К., Шляпников А.А. Анализ магнитной активности звёзд нижней части главной последовательности с обнаруженными экзопланетами // «Солнечная и солнечно-земная физика – 2019», Санкт-Петербург, Пулковое, 7 – 11 октября 2019 г., Труды конференции, – 2019 г., – С. 115-118.
- Гроот и др. (Groot P.J. et al.) GRB 970228 // IAUC N 6584, 1997 March 12.
- Гурский и др. (Gursky H. et al.) A Measurement of the Location of the X-Ray Source SCO X-1 // Astrophysical Journal, – 1966, – V.146, – P.310-316.
- Джакони и др. (Giacconi R. et al.) Evidence for X-Rays From Sources Outside the Solar System // Physical Review Letters, – 1962, – V.9, – I.11, – P.439-443.

- Д'Элия и др. (D'Elia V., Perri M., Puccetti S. et al.) The seven year Swift-XRT point source catalog (1SWXRT) // *Astronomy & Astrophysics* – 2013, – V. 551, – Id.A142, – 11 pp.
- Д'Элия и др. (D'Elia V., Gehrels N., Holland S.T. et al.) Swift Trigger 596958 is probably the flare star: DG CVn // *GRB Coordinates Network, Circular Service*, 2014, No.16158, #1.
- Клибсейдол и др. (Klebesadel R.W., Strong I.B., Olson R.A.) Observations of Gamma-Ray Bursts of Cosmic Origin // *The Astrophysical Journal*, – 1973, – V.182, – L.85-88.
- Кабальеро-Гарсия и др. (Caballero-García M.D., Castro-Tirado A.J., Claret A. et al.) Astrophysics of "extreme" solar-like stars // *IV Workshop on Robotic Autonomous Observatories* (Eds. María Dolores Caballero-García, Shashi B. Pandey, David Hiriart & Alberto J. Castro-Tirado) *Revista Mexicana de Astronomía y Astrofísica (Serie de Conferencias)*, – 2016, – V.48, – P.59-63.
- Кавалло, Джелли (Cavallo G., Jelley J.V.) Why are no radio pulses associated with the bursts of celestial gamma-rays? // *Astrophysical Journal*, – 1975, – V.201, – I.2, – P.L113-L115.
- Коста и др. (Costa E. et al.) GRB 970228 // *IAUC N 6572*, 1997 March 2.
- Мамежек (Mamajek) A Modern Mean Dwarf Stellar Color and Effective Temperature Sequence, – 2019, – Version 2019.3.22 https://www.pas.rochester.edu/~emamajek/EEM_dwarf_UBVIJHK_colors_Teff.txt
- Монгуё и др. (Monguió M., Greimel R., Drew J.E. et al.) IGAPS: the merged IPHAS and UVEX optical surveys of the northern Galactic plane // *Astronomy and Astrophysics* – 2020, – V.638, – Id.A18, – P.26.
- Пеко и Мамежек (Pecaut, Mamajek), Intrinsic Colors, Temperatures, and Bolometric Corrections of Pre-main-sequence Stars // *The Astrophysical Journal Supplement Series*, – 2013, – V. 208, – I. 1, – Id. 9, – 22pp.
- Петерсон, Винклер (Peterson L.E., Winckler J.R.) Gamma-Ray Burst from a Solar Flare // *Journal of Geophysical Research*, – 1959, – V.64, – I.7, – P.697-707.
- RST - ROSAT Scientific Team. The ROSAT Source Catalog of Pointed Observations with the High Resolution Imager (1RXH) (3rd Release) (2000) // <https://cdsarc.unistra.fr/viz-bin/cat/IX/28A>.
- Сандадж и др. (Sandage A. et al.) On the optical identification of SCO X-1 // *Astrophysical Journal*, – 1966, – V.146, – P.316-321.
- Сахю и др. (Sahu K. et al.) GRB 970228 // *IAUC N 6606*, 1997 March 28.
- Синицина и др. (Sinitsyna V.G., Sinitsyna V.Y., Stozhkov Yu.I.) Galactic Cosmic Rays: The first detection of TeV gamma-rays from Red Dwarfs // *EPJ Web of Conferences*, – 2019, – V.208, – P.14007.
- Синицина и др. (Sinitsyna V.G., Sinitsyna V.Y., Stozhkov Yu.I.) A new source type of galactic cosmic rays // *Journal of Physics Conference Series*, – 2020, – 1468:012082.
- Стассун и др., (Stassun K.G., Oelkers R.J., Paegert. M. et al.) The Revised TESS Input Catalog and Candidate Target List // *The Astronomical Journal*, – 2019, – V. 158, – I. 4, – Id. 138, – pp. 21.
- Уэбб и др. (Webb N.A., Coriat M., Traulsen I. et al.) VizieR Online Data Catalog: XMM-Newton Serendipitous Source Catalogue 4XMM-DR9 // *VizieR On-line Data Catalog: IX/59*. Originally published in: 2020A&A..in.prep...
- Холт, Рамати, 1969 (Holt S.S., Ramaty R.) Microwave and Hard X-Ray Bursts from Solar Flares // *Solar Physics*, – 1969, – V.8, – I.1, – P.119-141.
- XMM-SSC. XMM-Newton slew survey Source Catalogue, version 2.0 // *VizieR On-line Data Catalog: IX/53*. Originally published in: XMM-SSC, Leicester, UK (2017), – 2018yCat.9053....0X.
- Эванс и др. (Evans P.A., Page K.L., Osborne J.P.) 2SXPS: An Improved and Expanded Swift X-Ray Telescope Point-source Catalog // *The Astrophysical Journal Supplement Series*, – 2020, – V. 247, – I. 2, – Id.54, – pp. 27.